

МІНІСТЕРСТВО ОСВІТИ І НАУКИ УКРАЇНИ

**Український державний університет
науки і технологій**

Кафедра «Електротехніка та електромеханіка»

В авторській редакції

ЕЛЕКТРИЧНІ АПАРАТИ

Навчально-методичні рекомендації
до виконання контрольного завдання на тему:
«Розрахунок електромагнітного контактора»

Електронне видання

ДНІПРО
2024

УДК 621.3.04(076.1)

Е 50

Упорядник:
Д. В. Устименко

Електронне видання

Схвалено Групою забезпечення якості освітньої програми
141 «Електромеханічні системи автоматизації та електропривод»

Протокол № 5 від 01.02.2024

Е 50 Електричні апарати : навчально-методичні рекомендації до виконання контрольного завдання на тему: «Розрахунок електромагнітного контактора» / упоряд. Д. В. Устименко ; Укр. держ. ун-т науки і технологій. – Електрон. вид. – Дніпро : УДУНТ, 2024. – 17 с.

Навчально-методичні рекомендації до виконання контрольного завдання на тему «Розрахунок електромагнітного контактора».

Навчально-методичні рекомендації містять основні теоретичні положення та методику розрахунку електромагнітного контактора.

Іл. 4. Табл. 3. Бібліогр.: 2 назв.

ЗМІСТ

Вступ.....	4
Оформлення контрольного завдання.....	4
Вихідні дані.....	5
Розрахунок механічної характеристики контактора.....	6
Розрахунок котушки електромагнітного контактора.....	12
Порядок оформлення розрахунків.....	14
Бібліографічний список.....	15

ВСТУП

Метою контрольного завдання є закріплення та поглиблення знань, одержаних під час вивчення матеріалу дисципліни «Електричні апарати».

В завданні виконується розрахунок електромагнітного контактора. Робота складається з двох частин:

- розрахунок механічної характеристики електромагнітного контактора;
- розрахунок котушки електромагнітного контактора.

В навчально-методичних рекомендаціях наведені вимоги до змісту контрольного завдання, а також рекомендації до його виконання.

ОФОРМЛЕННЯ КОНТРОЛЬНОГО ЗАВДАННЯ

Усі записи виконуються на одній стороні листа А4 формату. З лівої сторони листа залишають поля шириною 25...30 мм для підшивки, з правої – поля шириною 15 мм, зверху та знизу – не менше 10 мм. Приклад оформлення титульної сторінки наведено в кінці цих методичних рекомендацій.

Розрахунки виконуються в послідовності, що наведена в даних методичних рекомендаціях. На кожному етапі розрахунку вказується його порядковий номер та найменування величини яка розраховується. В формулах розшифровують тільки ті символи і числові коефіцієнти, які не мали пояснення на більш ранніх етапах розрахунку. Після цього в формулу підставляють числові значення змінних і, не наводячи проміжних обчислень, наводять кінцевий результат.

Усі рисунки повинні бути пронумерованими. Нумерація наскрізна. Розміщуються вони зразу після посилання на них в тексті роботи або на наступній сторінці, якщо вони виконуються на окремих сторінках.

Графіки виконуються в масштабі.

Відмічені рецензентом помилки повинні бути акуратно виправлені. Для виправлень можна використовувати зворотну сторону попередньої сторінки. Не можна клеювати чи виривати сторінки з помилковими розрахунками.

ВИХІДНІ ДАНІ

Вихідні дані для розрахунку задаються табл. 1 у відповідності до навчального шифру (номеру залікової книжки) студента.

Таблиця 1. Вихідні дані для розрахунку електромагнітного контактора

Параметр	Номер варіанту (остання цифра шифру)									
	1	2	3	4	5	6	7	8	9	10
Сила натискання контактів Q_H , Н	25	26	27	28	29	30	31	32	33	34
Довжина котушки h , мм	170	170	180	180	190	190	200	200	210	210

Продовження таблиці 1.

Параметр	Номер варіанту (передостання цифра шифру)									
	1	2	3	4	5	6	7	8	9	0
Жорсткість пружини, що вимикає апарат J_{CB} , Н/м	1000	1100	1200	1300	1400	1500	1600	1700	1800	1900
Початковий натяг пружини, що вимикає апарат $Q_{вп}$, Н	30	31	32	33	34	35	36	37	38	39

Інші вихідні данні загальні для усіх варіантів:

- Початковий повітряний зазор між якорем і осердям $\delta_0 = 14$ мм.
- Зазор між якорем і осердям, за умови дотикання контактів, $\delta_c = 6$ мм.
- Кінцевий зазор між якорем і осердям $\delta_k = 1$ мм.
- Зміна довжини пружини притирання в процесі притирання $\Delta l_{п} = 0,008$ м.
- Зміна довжини пружини, що забезпечує відключення, в процесі увімкнення контактора $\Delta l_{в} = 0,01$ м.
- Плече сили електромагнітного притягнення $l_m = 0,08$ м.
- Плече сили пружини вимикання $l_b = 0,072$ м.
- Плече сили пружини притирання $l_{п} = 0,06$ м.
- Діаметр осердя в повітряному зазорі $d_c = 0,06$ м.
- Максимальний діаметр витка котушки $D = 0,075$ м.
- Максимальний діаметр витка котушки $d = 0,035$ м.

1. РОЗРАХУНОК МЕХАНІЧНОЇ ХАРАКТЕРИСТИКИ КОНТАКТОРА

Конструктивне влаштування електромагнітного контактора та його принцип дії розглядається в [1]. Кінематичні схеми увімкненого і вимкненого контактора наведені на рис. 1, а, б та його магнітне коло – рис. 2.

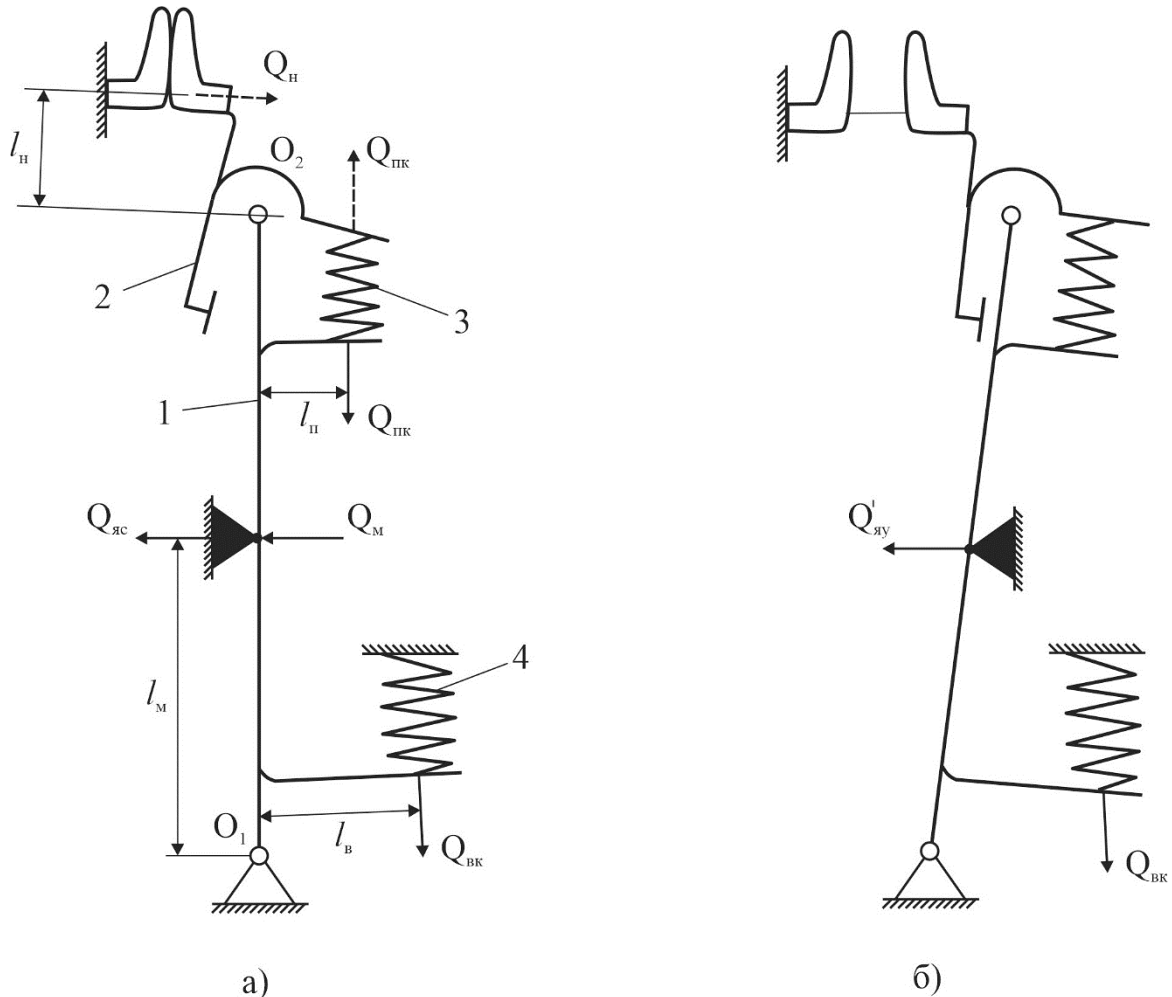


Рис. 1 Розрахункові схеми сил, що діють на важелі увімкненого (а) і вимкненого (б) електромагнітного контактора

На відміну від електропневматичного, у вимкненого електромагнітного контактора контактний важіль 2 не складається з поворотним важелем 1. В результаті натискання контактів не залежить від сили, що вмикає апарат, функції якої виконує сила електромагнітного притягування Q_M . Із умови рівноваги контактного важеля сума моментів діючих на нього сил (на рис. 1,а вони показані пунктирними стрілками) відносно осі O_2 рівна нулю:

$$Q_{ПК} \cdot l_{П} - Q_{Н} \cdot l_{Н} = 0, \quad (1.1)$$

де $Q_{ПК}$ – сила, що створюється пружиною притирання 3 в кінцевому (стисненому) стані;

$l_{П}, l_{Н}$ – плечі сил (дивись рис. 1,а).

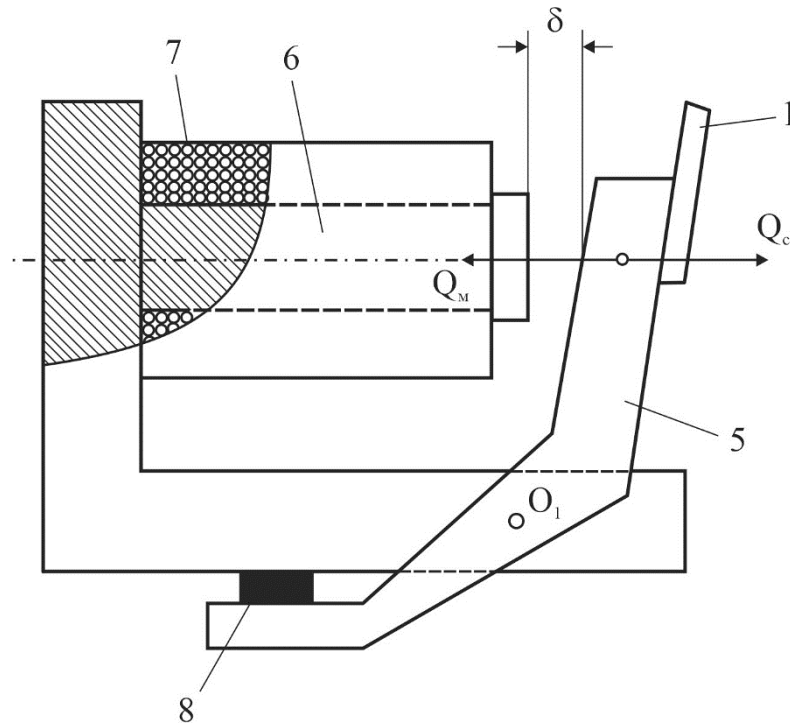


Рис. 2 Електромагнітний привод

Зазвичай $l_n \approx l_{п}$. За такої умови з рівняння (1.1) отримуємо:

$$Q_n = Q_{пк}. \quad (1.2)$$

Сила пружини притирання в кінцевому (стисненому) стані:

$$Q_{пк} = Q_{пш} + \Delta l_{п} \cdot \mathcal{J}_{п}, \quad (1.3)$$

де $Q_{пш}$ – початковий натяг пружини притирання;

$\Delta l_{п}$ – зміна довжини пружини притирання в процесі притирання;

$\mathcal{J}_{п}$ – жорсткість пружини притирання.

Сила, що створюється пружиною вимикання в кінцевому (стисненому) стані:

$$Q_{вк} = Q_{вп} + \Delta l_{в} \cdot \mathcal{J}_{в}, \quad (1.4)$$

де $Q_{вп}$ – початковий натяг пружини вимикання;

$\Delta l_{в}$ – зміна довжини пружини вимикання в процесі увімкнення контактора;

$\mathcal{J}_{в}$ – жорсткість пружини вимикання.

У увімкненого контактора якор повинен бути притисненим до осердя з певним зусиллям $Q_{яс}$, величина якого повинна бути достатньою для утримання якоря в кінцевому положенні за умови дії на нього вібрацій та ударів, що виникають при роботі контакторів на рухомому складі. Необхідне

мінімальне значення зусилля $Q_{\text{яс}}$ залежить від конструкції контактора і його розміщення на електрорухомому складі. В даній роботі приймається загальне для усіх варіантів значення $Q_{\text{яс min}} = 50 \text{ Н}$. Із рис. 1,а отримують

$$Q_{\text{м}} l_{\text{м}} - Q_{\text{яс}} l_{\text{м}} - Q_{\text{пк}} l_{\text{п}} - Q_{\text{вк}} l_{\text{в}} = 0. \quad (1.5)$$

Приводячи сили, що діють в конструкції рівняння (5) можна переписати у вигляді:

$$Q_{\text{м}} - Q_{\text{яс}} - Q'_{\text{пк}} - Q'_{\text{вк}} = 0. \quad (1.6)$$

Усі приведені сили відмічаються штрихом.

У вимкненого контактора сила притискання якоря 5 до упору 8 (дивись рис. 2) повинна бути достатньою для упередження переміщення рухомої частини при вібраціях і ударах. Ця сила, приведена до осі осердя, позначена на рис. 1,б як $Q'_{\text{яу}}$.

З рис. 1,б

$$Q'_{\text{яу}} = Q'_{\text{вп}} = Q_{\text{вп}} \frac{l_{\text{в}}}{l_{\text{м}}}, \quad (1.7)$$

де $Q'_{\text{вп}}$ – приведений початковий натяг пружини вимикання.

В рівняннях (1.5) – (1.7) не враховується дія сили тяжіння рухомої частини, оскільки у даного типу контакторів якір розміщено практично вертикально і плече цієї сили наближається до нульового значення. Прийняті нульовими і сили тертя.

Залежність сили $Q_{\text{с}}$ опору руху якоря при вмиканні контактора від величини повітряного зазору δ між якорем та осердям називається механічною характеристикою. Для того щоб мати можливість порівнювати силу опору з електромагнітною силою, усі складові $Q_{\text{с}}$ повинні бути приведеними до лінії дії електромагнітної сили, тобто до осі осердя. Для контактора, що розглядається з урахуванням прийнятих допущень:

$$Q_{\text{с}} = Q'_{\text{в}} + Q'_{\text{п}}, \quad (1.8)$$

де $Q'_{\text{в}}$ – приведена сила пружини вимикання;

$Q'_{\text{п}}$ – приведена сили пружини притирання.

Принцип побудови механічної характеристики проілюстровано на рис. 3.

На рис. 3 позначені:

δ_0 – зазор між якорем і осердям за умови, що контактор вимкнений, дуже часто називають початковим повітряним зазором;

$\delta_{\text{с}}$ – зазор між якорем і осердям за умови дотикання контактів;

$\delta_{\text{к}}$ – зазор між якорем та осердям за умови, що контактор увімкнений, називають кінцевим зазором.

З точки зору конструкції наявність кінцевого зазору забезпечується або за рахунок прокладки з немагнітного матеріалу, яку приклепують до якоря, або за рахунок упору. Зазор δ_k необхідний для унеможливлення «залипання» якоря під дією залишкової намагніченості сталі магнітопроводу контактора.

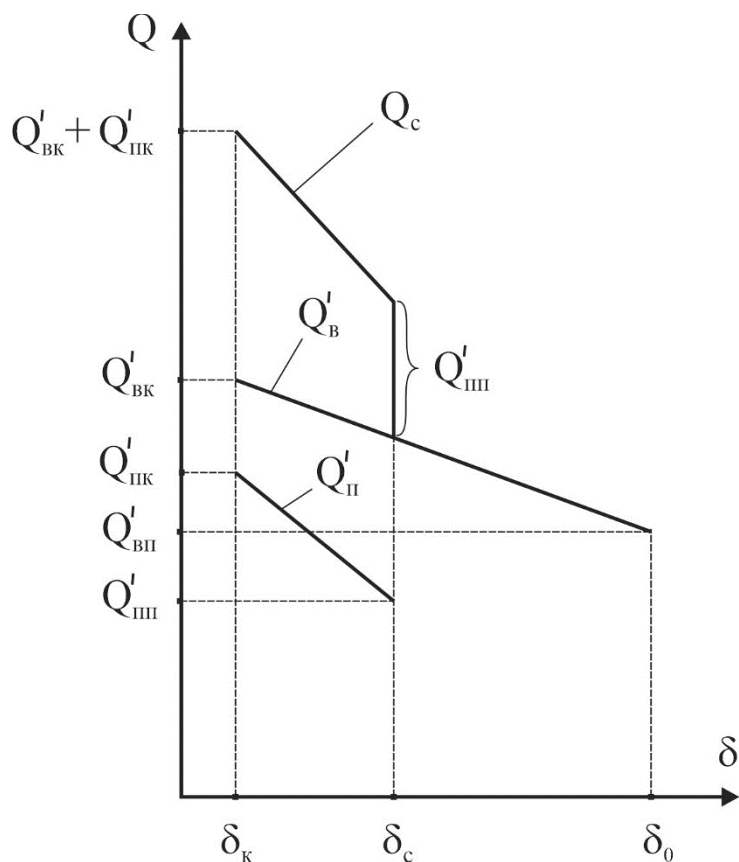


Рис. 3 Побудова механічної характеристики електромагнітного контактора

Залежність електромагнітної сили Q_m від величини повітряного зазору між якорем і осердям δ називається тяговою характеристикою. Приклад тягової характеристики показаний на рис. 4.

Електромагнітна сила залежить від МРС (магніторушійна сила, синонім – сила намагнічування) котушки F :

$$F = I \cdot w, \quad (1.9)$$

де I – струм в котушці, А;

w – кількість витків в котушці.

Струм в котушці:

$$I = \frac{U}{R}, \quad (1.10)$$

де U – напруга живлення котушки, В;

R – опір котушки, Ом.

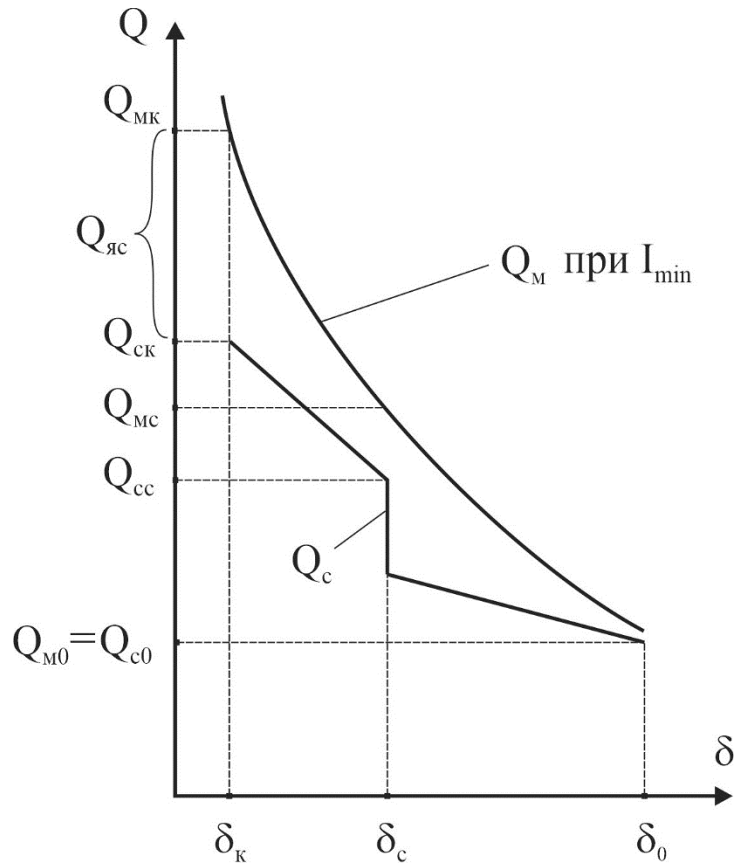


Рис. 4 Узгодження механічної і тягової характеристик

Апарати електрорухомого складу повинні нормально функціонувати за напруги живлення кіл керування, що складає 60% від номінального значення $U_{\text{ном}} = 50$ В. Опір котушки також не є постійним і залежить від її температури. Мінімальне значення сили намагнічування F_{min} досягається за умови протікання в котушці мінімального струму, тобто:

$$I_{\text{min}} = \frac{0,6U_{\text{ном}}}{R_{\text{max}}} \quad (1.11)$$

Для того аби в найгірших умовах експлуатації контактор зберігав працездатність, усі точки, тягової характеристики при F_{min} повинні лежати вище точок механічної характеристики, причому, як було показано вище, сила притискання якоря до осердя повинна бути не менше ніж $Q_{\text{яc min}}$. Сили опору при зазорах δ_0 , δ_c і δ_k позначені відповідно Q_{c0} , Q_{cc} , Q_{ck} (рис. 4), а електромагнітні сили – Q_{M0} , Q_{mc} , Q_{mk} . Тоді при F_{min} повинні виконуватись умови:

$$Q_{M0} \geq Q_{c0}, \quad (1.12)$$

$$Q_{mc} \geq Q_{cc}, \quad (1.13)$$

$$Q_{МК} \geq Q_{СК} + Q_{яс \min} \cdot \quad (1.14)$$

З рис. 3:

$$Q_{с0} = Q'_{ВП}, \quad (1.15)$$

$$Q_{сс} = Q'_{ВП} + \frac{(Q'_{БК} - Q'_{ВП}) \cdot (\delta_0 - \delta_c)}{\delta_0 - \delta_k} + Q'_{ПП}, \quad (1.16)$$

$$Q_{СК} = Q'_{БК} + Q'_{ПК}. \quad (1.17)$$

Для розрахунків Q_{M0} , Q_{Mc} можна скористатись формулою:

$$Q_M = \frac{0,5\mu_0 S_\delta F^2}{\delta^2}, \quad (1.18)$$

де Q_M – електромагнітна сила, Н;

$\mu_0 = 4\pi \cdot 10^{-7}$ Гн/м – магнітна проникність повітря;

S_δ – площа осердя в повітряному зазорі, м²;

F – МРС котушки, А;

δ – повітряний зазор, м.

Для малих повітряних зазорів формула (1.18) дає завищений результат, оскільки при її отриманні не врахований магнітний опір магнітопроводу. В контрольній роботі розрахунок точок тягової характеристики в інтервалі $\delta_k - \delta_c$ роблять по даним табл. 2, в якій значення Q_M наведені у відносних (відносно Q_{M0}) величинах.

Таблиця 2. Координати точок тягової характеристики

δ , мм	1	2	4	6	8	14
Q_M / Q_{M0}	13,5	11	7,3	5,44	3,06	1

З табл. 2 випливає, що для заданого значення $\delta_k = 1$ мм умова (1.14) може бути записана у вигляді:

$$13,5 \cdot Q_{M0} \geq Q_{СК} + Q_{яс \min} \cdot \quad (1.19)$$

Із отриманих по умовам (1.12), (1.13), (1.19) значень F_{\min} вибирається найбільше і за цим значенням розраховується котушка контактора.

2. РОЗРАХУНОК КОТУШКИ ЕЛЕКТРОМАГНІТНОГО КОНТАКТОРА

Котушка намотується мідним проводом круглого перерізу на виконаному з ізоляційного матеріалу каркасі. По заданим розмірам котушки і розрахованому значенню F_{\min} необхідно визначити кількість витків котушки w та діаметр обмоткового проводу $d_{\text{пр}}$.

Опір котушки:

$$R = \frac{\rho l_{\text{cp}} w}{q}, \quad (2.1)$$

де ρ – питомий опір міді, $\frac{\text{Ом} \cdot \text{мм}^2}{\text{м}}$;

l_{cp} – середня довжина витка котушки, м;

q – переріз обмоткового проводу, мм^2 ;

Середня довжина витка:

$$l_{\text{cp}} = 0,5\pi(D + d). \quad (2.2)$$

де D – максимальний діаметр витка, м;

d – мінімальний діаметр витка, м.

Напруга на котушці:

$$U = IR = I \frac{\rho \cdot l_{\text{cp}} w}{q} = F \frac{\rho \cdot l_{\text{cp}}}{q}. \quad (2.3)$$

З формули (2.3) отримуємо розрахунковий перетин обмоткового проводу, який забезпечить значення F_{\min} за найгірших умов експлуатації:

$$q_p = \frac{F_{\min} \cdot \rho_{\max} \cdot l_{\text{cp}}}{U_{\min}}, \quad (2.4)$$

де $\rho_{\max} = 0,0225 \frac{\text{Ом} \cdot \text{мм}^2}{\text{м}}$ – питомий опір міді, що відповідає максимально допустимій температурі котушки.

Через різні умови охолодження шари котушки нагріваються неоднаково. У випадку ізоляції класу А температура найбільш перегрітих середніх шарів може досягати 125°C при температурі навколишнього повітря 50°C . Розрахункова температура, для якої наведено значення ρ_{\max} , прийнята рівною 90°C .

Після розрахунку q_p з табл. 3 вибирається провід, який має найближчий більш перетин $q_{\text{пр}}$.

Таблиця 3. Стандартний ряд діаметрів і перетинів круглих проводів

$d_{\text{пр}}, \text{мм}$	0,31	0,33	0,35	0,38	0,41	0,44	0,47	0,49	0,51	0,53
$q_{\text{пр}}, \text{мм}^2$	0,075	0,086	0,096	0,113	0,132	0,152	0,174	0,189	0,204	0,22
$d_{\text{пр}}, \text{мм}$	0,55	0,57	0,59	0,62	0,64	0,67	0,69	0,72	0,74	0,77
$q_{\text{пр}}, \text{мм}^2$	0,238	0,255	0,273	0,302	0,322	0,353	0,371	0,407	0,43	0,466

Обмотковий простір («вікно») котушки:

$$S_0 = 0,5(D - d)h, \quad (2.5)$$

де h – довжина котушки, мм;

D, d – відповідно максимальний і мінімальний діаметри витка, мм.

Кількість витків котушки:

$$w = \frac{S_0 \cdot k_3}{q_{\text{пр}}}, \quad (2.6)$$

де k_3 – коефіцієнт заповнення обмоткового простору міддю. Його величина залежить від діаметра проводу і товщини ізоляції. Для проводів з $d_{\text{пр}} = 0,3 \dots 1,2$ мм і емалевою ізоляцією розрахункове значення $k_3 = 0,7$.

Після розрахунків котушка перевіряється на нагрів. Повний тепловий розрахунок виконується з використанням коефіцієнтів і номограм, що отримують в результаті випробувань аналогічних апаратів. В контрольному завданні оцінка нагріву котушки виконується орієнтовно шляхом порівняння фактичної густини струму в витках котушки з допустимим значенням.

Допустима густина струму залежить від потужності, що розсіюється в котушці. Максимальна потужність буде при максимальній напрузі живлення U_{max} , що складає $1,1U_{\text{ном}}$:

$$P_{\text{max}} = \frac{U_{\text{max}}^2}{R}. \quad (2.7)$$

Допустима густина струму в А/мм^2 пов'язана з P_{max} (Вт) емпіричним співвідношенням:

$$j_{\text{доп}} = \frac{80 + P}{P}. \quad (2.8)$$

Густина струму в витках котушки:

$$j = \frac{U_{\text{max}}}{R \cdot q_{\text{пр}}}. \quad (2.9)$$

Якщо $j > j_{\text{доп}}$, то необхідно корегувати «вікно» котушки.

В розрахунках P_{max} і j опір котушки, що визначається за формулою (2.1), приймається максимальним, тобто $\rho = \rho_{\text{max}}$.

ПОРЯДОК ОФОРМЛЕННЯ РОЗРАХУНКІВ

1.1 Розрахунок початкової величини натягнення $Q_{\text{пш}}$ і жорсткості $\mathcal{E}_{\text{п}}$ пружини притирання. Для розрахунків використовують формули (1.2), (1.3) та приймають наступне співвідношення $Q_{\text{пш}} = 0,7 \cdot Q_{\text{пк}}$.

1.2 Розрахунок приведених сил пружини притирання $Q'_{\text{пш}}$, $Q'_{\text{пк}}$.

1.3 Розрахунок приведених сил пружини вимикання $Q'_{\text{вп}}$, $Q'_{\text{вк}}$.

1.4 Розрахунок точок механічної характеристики $Q_{\text{с0}}$, $Q_{\text{сс}}$, $Q_{\text{ск}}$.

1.5 Розрахунок мінімального значення сили намагнічування $F_{\text{мін}}$.

1.6 Розрахунок точок тягової характеристики при $F_{\text{мін}}$. Результати розрахунку звести до таблиці.

1.7 Побудова механічної і тягової характеристик при $F_{\text{мін}}$. Характеристики будуються в одній координатній площині (по аналогії з рис. 4).

2.1 Розрахунок середньої довжини витка котушки $l_{\text{ср}}$.

2.2 Визначення розрахункового перетину обмоткового проводу $q_{\text{р}}$.

2.3 Вибір діаметра проводу $d_{\text{пр}}$ і його перетину $q_{\text{пр}}$.

2.4 Розрахунок площі вікна котушки S_0 .

2.5 Розрахунок кількості витків котушки w .

2.6 Розрахунок опору котушки R .

2.7 Розрахунок максимальної потужності котушки P_{max} .

2.8 Розрахунок допустимої густини струму в котушці $j_{\text{доп}}$.

2.9 Розрахунок фактичної густини струму в котушці j . Оцінка допустимості перегріву котушки.

БІБЛІОГРАФІЧНИЙ СПИСОК

1. Клименко Б. В. Електричні апарати. Електромеханічна апаратура комутації, керування та захисту. Загальний курс : навч. посіб. Харків : Вид-во «Точка», 2012. 340 с.

2. Клименко Б. В. Комутаційна апаратура, апаратура керування, запобіжники. Терміни, тлумачення, коментарі : навч. посіб. Харків : Талант, 2008. 208 с.

Приклад оформлення титульної сторінки контрольного завдання.

МІНІСТЕРСТВО ОСВІТИ ТА НАУКИ УКРАЇНИ
Український державний університет науки і технологій
ННІ «Дніпровський інститут інфраструктури і транспорту»

Кафедра «Електротехніка та електромеханіка»

КОНТРОЛЬНЕ ЗАВДАННЯ

з дисципліни

«Електричні апарати»

на тему:

«Розрахунок електромагнітного контактора»

Виконавець:
студент (ка) групи _____

(Прізвище, ініціали)

Перевірив:

(Прізвище, ініціали)

м. Дніпро, 20__

Навчально-методичне видання

Устименко Дмитро Володимирович

ЕЛЕКТРИЧНІ АПАРАТИ

Навчально-методичні рекомендації
до виконання контрольного завдання на тему:
«Розрахунок електромагнітного контактора»

Електронне видання

Експертний висновок склав д-р техн. наук, проф. Андрій Муха

Зареєстровано НМВ УДУНТ (№ 706 від 12.03.2024)

В авторській редакції

Комп'ютерна верстка Д. В. Устименко

Формат 60x84 $\frac{1}{16}$. Ум. друк. арк. 0,99. Обл.-вид. арк. 0,37.
Зам. № 33

Видавець: Український державний університет науки і технологій
вул. Лазаряна, 2, ауд. 2216, м. Дніпро, 49010.
Свідоцтво суб'єкта видавничої справи ДК № 7709 від 14.12.2022

Адреса видавця та дільниці оперативної поліграфії:
вул. Лазаряна, 2, Дніпро, 49010